

1968

M
2

1968

38186x Isochoric specific heat of water and steam up to 800° and 1000 bars. Amirkhanov, Kh. I.; Stapanov, G. V.; Mursalov, B. A.; Alibekov, B. G. (USSR). *Tr. Vses. Nauch.-Tekh. Konf. Termodin., Sb. Dokl. Sekts. "Termodin. Fazovykh Perekhodov, Potoka Neobratimykh Protsessov" "Teplofiz. Svoistva Veshchestv,"* 3rd 1968 (Pub. 1970), 352-65 (Russ). Leningrad. Tekhnol. Inst. Kholod. Prom.: Leningrad, USSR. The isochoric sp. heat c_v , values of triply distd. water for 18 isochors (1.001-21.94 cm³/g) at 100-800° and the equations for c_v for 100-350° and 25-1000 atm and for 500-800° and 0-1000 bars were obtained. The measurements were made by using Pt as well as stainless steel high-temp. adiabatic calorimeters. The accuracies were $\leq 3.5\%$ for rapid changes of parameters (temp., vol., c_v), and $<1.5-2\%$ for uniform c_v changes (in the liq. and steam regions). Comparisons of the results with some literature data revealed divergences of 0.2-1%, but at higher temps. and pressures these are as large as 3.6%. J. Pietkiewicz

C.A. 1972-76-8

Library para

1968

H₂O

99556v Approximate Hartree-Fock wave functions, one-electron properties, and electronic structure of the water molecule. Aung, Soe; Pitzer, Russell M.; Chan, Sunney I. (California Inst. of Technol., Pasadena, Calif.). *J. Chem. Phys.* 1968, 49(5), 2071-80 (Eng). Several approx. Hartree-Fock S.C.F. wavefunctions for the ground electronic state of the water mol. have been obtained by using an increasing no. of multicenter *s*, *p*, and *d* Slater-type A.O. as basis sets. The predicted charge distribution has been extensively tested at each stage by calcg. the elec. dipole moment, mol. quadrupole moment, diamagnetic shielding. Hellmann-Feynman forces, and elec. field gradients at both the H and the O nuclei. A carefully optimized minimal basis set suffices to describe the electronic charge distribution adequately except in the vicinity of the O nucleus. These calens. indicate, for example, that the correct prediction of the field gradient at this nucleus requires a more flexible linear combination of *p* orbitals centered on this nucleus than that in the minimal basis set. Theoretical values for the mol. octopole moment components are also reported.

RCJO

C.A. 1968-

69.24

XII-14

1968

H_2O

Beauchamp Y. L.,
Buttrill S. E.

состав
кислоты

J. Chem. Phys., 48, N 4,
J 1783.

состав H_2S и H_2O
кислоты.

(an. H_2S) III

H₂O

BP - XI - 78

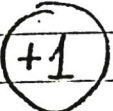
1968

19 Б128. Молекулярная фотоэлектронная спектроскопия высокого разрешения. II. Вода и окись деuterия. Brundle C. R., Turneg D. W. High resolution molecular photoelectron spectroscopy. II. Water and deuterium oxide. «Proc. Roy. Soc.», 1968, A307, № 1488, 27—36 (англ.)

На фотоэлектронном спектрометре высокого разрешения исследованы фотоэлектронные спектры H₂O и D₂O, возникающие под действием излучения 584 Å от гелиевого источника света. Обсуждены электронная структура молекул и характеристики связи различных молек. орбиталей. Установлено, что у воды имеются только три конфигурационно различных ионизационных потенциала меньших 21,22 эв. Ч. I см. реф. 19Б127.

О. Г. Гаркуша

x. 1969. 19



H₂O

БР-Х-78

1968

7Д284. Молекулярная фотоэлектронная спектроскопия высокого разрешения. II. Вода и окись дейтерия.
B grundle C. R., Turneg D. W. High resolution molecular photoelectron spectroscopy. II. Water and deuterium oxide. «Proc. Roy. Soc.», 1968, A307, № 1488, 27—36
(англ.)

Получены спектры распределения фотоэлектронов по энергиям при освещении H₂O и D₂O излучением линией 584 Å He. В спектрах наблюдается отчетливая тонкая колебательная структура. Результаты обсуждены в терминах электронной структуры молекул. Из анализа спектров следует, что вода имеет три конфигурационно различающихся потенциала ионизации с энергией ниже 21,22 эв. Ч. 1 см. реф. 7Д283.

Ю. М.

оф. 1969

78

1968

H₂O

16 Б52. Анализ эффектов искажения в спектре молекулы H₂O. Bruscato Dianne Garrett, Genusa Vincent A. Analysis of distortion effects of the H₂O molecule. «J. Chem. Phys.», 1968, 49, № 10, 4462—4466 (англ.)

Из первых трех инвариантов матрицы вращательной энергии молекул типа асимм. волчка с учетом поправок центробежного искажения второго порядка получены ф-лы, связывающие вращательные и центробежные постоянные с энергией вращательных уровней заданного колебательного состояния. Эти ф-лы применены к эксперим. данным по колебательно-вращательному ИК-спектру молекулы H₂O. Определены вращательные и центробежные постоянные для колебательных уровней 000, 010 у 020 H₂O.

М. Р. Алиев

и. н.

x · 1969

16

H₂O

8 Д316. Интенсивности сорока двух линий в ν_1 - и ν_3 -полосах паров воды. Babrov Harold J., Casen Frank. Strengths of forty-two lines in the ν_1 and ν_3 bands of water vapor. «J. Opt. Soc. Amer.», 1968, 58, № 2, 179—187 (англ.)

С помощью вакуумного спектрометра высокого разрешения (до $0,16 \text{ см}^{-1}$) получены спектры поглощения паров воды в области у $2,7 \mu$ при парциальных давлениях паров 50, 100 и 150 мм рт. ст., длине пути 3,98 см и т-ре 420° К. Методом кривых роста определены значения интенсивностей отдельных «слабых» линий в полосах ν_1 (12 линий) и ν_3 (30 линий). С целью проверки теоретич. расчетов интенсивностей линий H_2O и определения роли колебательно-вращательных взаимодействий эксперим. значения интенсивностей сравнены с вычисленными в приближении жесткого асимметричного волчка. Показано, что фактор колебательно-вращательного взаимодействия изменяется от значений меньших единицы для линий R -ветви до значений больших единицы для линий P -ветви,

1988

09. 1988. 89

хотя и не является плавной функцией вращательного квантового числа. Наибольшие изменения F -фактора наблюдаются для линий полосы ν_1 . Для линий полосы ν_1 при $3626,24$ и $3596,17 \text{ см}^{-1}$, близких по частоте к линиям полосы ν_3 , F -фактор равен 184 и 257 , соответственно. Отмечается хорошее согласие эксперим. значений интенсивностей линий полосы ν_1 с вычисленными недавно Бенедиктом и Калфи с учетом зависимости интенсивности линий от центробежного растяжения. Сопоставление эксперим. и вычисленных значений интенсивностей приводит в этом случае к значению интенсивности полосы ν_1 , равному $1,33 \cdot 10^4 \text{ см}^{-1}/\text{г} \cdot \text{см}^{-2}$ при $287,7^\circ \text{ K}$.

К. Василевский

$A(g)$ ($\cancel{NH_3}$, H_2O) $\xrightarrow{^7\text{LiD}}$ 1968

Chupka W.A., Russell M.E.

J. Chem. Phys., 1968, 48, # 4, 1527-1533

Ton-molecule reactions of NH_3^+
by protonization.

Casen
4

10

Publ. 1969, 56-1110.

1968

H₂O

Ia

Dobbins D.L., Grone A.H.

20th annual Southwest IEEE con-
ference, 1968

Determination of vibrational and
rotational energy levels of water
vapor.

1968

H₂O (Kofman.)Chenup

14584a Hydrogen bonding in water and ice. Ford, Thomas A.; Falk, Michael (Dalhousie Univ., Halifax, Nova Scotia). *Can. J. Chem.* 1968, 46(22), 3579-86 (Eng). The absorption bands due to the OH and OD stretching vibrations of HDO in ice were measured between 0 and -182° and compared with the corresponding bands in liq. water. Their frequencies were correlated with the intermol. potential energies of H₂O and D₂O. The distributions of the intermol. energies in ice and in water at different temps. were derived from the profiles of the bands.

RCCM

C. A. 1969: 40: 4:

BeH_2 , LiH_2^- , BH_2^+ , BH_3 , BeH_3^- , CH_3^+ , 9, 4, 1968

CH_4 , BH_4^- , NH_4^+ , H_4O^{2+} , NH_3 , CH_3^- , 11, 13, 5946

H_3O^+ , $\underline{\text{H}_2\text{O}}$, NH_2^- , H_2F^+ , HF , OH^- (γ_e)

Frost A.A., caps 6.6 ax 5, 94/10
circular

J. Phys. Chem., 1968, 72(4), 1283-93

A floating ○ spherical Gauss-

1968

Ciul. Wg
Meth. A

CH₂O N₂

Ge f₄

Ciul. Wg

61642g Determination of molecular vibrational force constants from kinematically defined normal coordinates. Feeman, D. E. (Air Force Cambridge Res. Lab. (OAR), Bedford, Mass.). *J. Mol. Spectrosc.* 1968, 27(1-4), 27-43 (Eng). The criterion that the sum of the diagonal force consts. of a generalized valence force field attain an extremum, consistent with elimination of the arbitrariness inherent in the usual unrestricted formulation of the inverse secular problem of detg. $\frac{1}{2}n(n + 1)$ vibrational force consts. from only n harmonic frequencies and the equil. configuration, leads to $n!$ solns. for the force field. All such solns. are characterized by symmetric GF matrices, and are obtained in terms of the observed vibrational frequencies, the equil. configuration, and the scaling chosen for the internal symmetry

(+ 3 ref)

C.A. 1968. 69. 16

X

coordinates. The particular 2 force fields involving, resp., the smallest and greatest extrema of the trace of the F matrix are specified, and they correspond to completely reversed assignments of the frequencies. Comparison of the above model with 2 others based on kinematically defined normal coordinates, viz., the method of the characteristic set of valence coordinates and the method of progressive rigidity, reveals that the last possesses some advantages. H_2O , NO_2 , and GeF_4 are discussed. 43 references.

RCKP

OH_2

Gordon M. S.

1968

pacem J. chem. Phys.,
pacual 1968, 49, v10, 4643-50.
reverp.

● (CH_2CH_2 ; III)

XI 220

1868

K_p (Cl₂, H₂O, HOCl, Cl⁻, H⁺) "K_p (Br₂, H₂O, KOHBr, Br⁻, H⁺)Gutmann H., Lewis M., Perlmutter -
Haffman B.J. Phys. Chem., 1868, 22, v10, 3621-3623/any
The ultraviolet absorption spectra
of chlorine, bromine, and bromi-
ne chloroform in aqueous solution

Pugh 1868 50298

W 12

H₂O
(FE)

Ридберговские
состояния

декабрь 1988 г.

19 Б14. Корреляция между молекулярными и атомными ридберговыми уровнями. Часть 1. Анализ ридберговых состояний воды. Nagada Y., Murrell J. N. The correlation between molecular and atomic Rydberg levels. Part I. An analysis of the Rydberg states of water. «Molec. Phys.», 1968, 14, № 2, 153—164 (англ.)

На основе энергий ридберговых состояний Ne рассчитаны энергии ридберговых состояний H₂O относительно ионизационного потенциала. Сначала рассчитывались энергии валентных состояний Ne, а затем возмущения первого и второго порядка из-за изменений ядерного остова. Члены, описывающие возмущения, оказались чувствительными к форме волновой функции для ридберговых орбиталей Ne. Использовались и самосогласованные волновые функции. Обнаружено разумное согласие между рассчитанными и эксперим. энергиями, исключая 3 s-состояние, к-рое, вероятно, лучше коррелирует с переходом на разрыхляющую MO, чем с переходом на ридберговую орбиталь.

Резюме

1968

H₂O

(li. h.)

13001a Correlation between molecular and atomic Rydberg levels. I. An analysis of the Rydberg states of water. Harada, Y.; Murrell, J. N. (Univ. Sussex, Brighton, Engl.). *Mol. Phys.* 1968, 14(2), 153-64 (Eng). The energies of the Rydberg states of H₂O relative to the ionization potential have been calcd. by starting from the energies of the Ne Rydberg states. The first step is the calcn. of Ne valence state energies, the second is the calcn. of first and second-order perturbations due to the change in the nuclear framework. These perturbation terms are sensitive to the form of the wavefunction of the Ne Rydberg orbitals. Self-consistent field wavefunctions have been chosen when available. There is a reasonable agreement between the calcd. and observed energies except for the 3s states, which are probably better correlated with a transition to an antibonding M.O. than a transition to a Rydberg orbital. RCFS

C.A. 1968-69-4

1968

11.0

(65501z) Infrared spectral absorption coefficient data for water.
Herget, W. F.; Muirhead, J. S. (Rocketdyne, Canoga Park,
Calif.). *NASA Contract. Rep.* 1968, NASA-CR-98160, 46 pp.
(Eng). Avail. CFSTI. From *Sci. Tech. Aerosp. Rep.* 1969,
7(3), 425. A summary is presented of a spectral absorption
coeff. measurements program. The data are for water vapor in
the $1-8\text{-}\mu$ region at $575-1250^{\circ}\text{K}$. at pressures up to 1 atm.
Foreign gas broadening by H, Cl, and CO₂ is included. TCSL

Far infrared and chemistry. Experimental results from French universities. I
N.R.S. Paris, Fr.). By (1969) is present in Institute

C.A. 1969. 81.14

1968

K. M. S.nacreousmed - IH₂O

(23004p) Self-consistent-field one-center expansion method for C_{2v} symmetry molecules. I. Analysis of the integrals. Joshi, Bhairav D. (Univ. Delhi, Delhi, India). *Indian J. Pure Appl. Phys.* 1968, 6(11), 599-604 (Eng). General expressions are derived for the one-electron two-center integrals, and the angular parts of one-center Coulomb and exchange integrals for C_{2v} symmetry mols. (AH_2 type). The basis functions are a set of symmetry adapted Slater type (exponential) functions centered on the heavy atom which is taken as the origin of the coordinate system. Computational aspects of the problem are discussed. Numerical values for some types of integrals arising from a basis set of 8 symmetry adapted Slater type orbitals are given for the H₂O mol. for comparison purposes.

RCXZ

C.A. 1969

70.6

$\mu_2 O$

кв.-мех
рачег

4 Д69. Теоретико-групповая классификация состояний при расчетах молекулярных систем. Каплан И. Г., Родимова О. Б. «Ж. эксперим. и теор. физ.», 1968, 55, № 5, 1881—1892 (рез. англ.)

1968

Предложен общий метод нахождения разрешенных молекулярных мультиплетов, которые могут быть построены из заданных атомных состояний при учете взаимодействия конфигураций. Метод исходит из описания молекулы координатной волны, ф-цией с заданной перестановочной симметрией схемы Юнга [λ]. Разобраны конкретные частные случаи различных молекулярных конфигураций. Для молекулы H_2O найдены все 100 мультиплетов, которые могут быть построены на четырех $2p$ -орбиталах атома О и двух $1s$ -орбиталях атомов Н.

Автореферат

9.1968.

49



H_2O

расчет,
авт. исср.

(авт. ИФ)
III

1968

Kim H., Parr R. G.

J. Chem. Phys., 49, N 7, 3071 - 83

ОднодимENSIONAL расчЕт
иссийронных жерчи
использованный по линейной
модели воронкующей

IV. Дека неизотопные
исследования III

111 11 1868
7 (CH₃F, CH₃Cl, H₂O) XI 293

Krauss M.

Advances Mass Spectrom. Vol. 4, London,
1968, 575-578 (annual).

Use of approximate Hartree-Fock
calculations to estimate ionization
potentials.

Br. X-44, 1970, 3624

111 7 OP

1968

№ 0

22 Б22. Вычисление ридберговых термов для молекулы воды. Lin T. F., Duncan A. B. F. Calculations on Rydberg terms of the water molecule. «J. Chem. Phys.», 1968, 48, № 2, 866—871 (англ.)

Вычислены и сопоставлены с соответствующими эксперим. данными серии ридберговых термов для молекулы воды. В расчетах использована одноцентровая ядерная функция. При этом предполагалось, что одноэлектронные ридберговы функции взаимно ортогональны и ортогональны к ядерной функции. Энергии электронов определялись из потенциалов, содержащих операторы для электронов с внутренних оболочек. Значение термов определено с точностью около 1%, за исключением самых низкоэнергетич. членов некоторых серий. Вариация величин термов по отношению к параметрам/ экранирования во всех случаях приводит к стационарности этих величин.

Резюме

Х. 1968. 22

1968

*H₂O**продолжение**далее**вр. Ида. учен.*

1 Б40. К вычислению постоянных в гамильтониане нежесткого ассимметричного волчка. Макушкин Ю. С. «Ж. прикл. спектроскопии», 1968, 8, № 6, 1067—1070

Обсуждается вопрос о вычислении колебательно-вращательной энергии молекул H_2O . По полученным ранее ф-лам рассчитываются постоянные центробежного искажения вплоть до третьего порядка. Эффективные вращательные постоянные рассчитываются с помощью эксперим. вращательных уровней. Составлена программа расчета вращательных энергетич. уровней. Расчет проведен для колебательных состояний (030), (041) (131); (031).

Резюме

9

Х · 1968 · 1

1968

№ 2

2 Д153. Волновые функции колебательных состояний молекулы H_2O . Макушкин Ю. С., Толмачев В. И. «Изв. высш. учебн. заведений. Физика», 1968, № 7, 13—18

Из литературных данных о колебательных постоянных вычислены ангармонич. поправки 1- и 2-го порядков к гармонич. колебательным волн. ф-циям молекулы воды.

М. Р. Алиев

Ф. 1969.

28

1968

(H₂O)₂

ЗД120. Изучение водородных связей методом молекулярных орбиталей. Неэмпирический расчет димерной H₂O. Могокута К., Pedersen L. Molecular orbital studies of hydrogen bonds. An Ab-initio calculation for dimeric H₂O. «J. Chem. Phys.», 1968, 48, № 7, 3275—3282 (англ.)

Методом Рутана с использованием базиса из гауссовых ф-ций (3 ф-ции s-типа, центрированные на ядрах H, 5 ф-ций s-типа и 3 — p-типа для атомов O) исследована энергия водородных связей и строение димерной H₂O в линейной, циклической и сдвоенной (атом O молекулы-акцептора образует одновременно 2 H-связи с молекулой-донором) конфигурациях. Наиболее стабильной является линейная конфигурация с одной

кв. - мех.
расчет

оп. 1969. ЗА

Н-связью, расстоянием $O \dots H$ 1,72 Å и энергией стабилизации (разность полной энергии двух молекул H_2O и Н-связанной системы) 12,6 ккал/моль. При этом акцептор почти свободно вращается вокруг, своей молекулярной оси. Удлинение связи $O-H$ в доноре найдено равным 0,012 Å при одновременном выигрыше энергии 0,1 ккал/моль. Анализ заселенностей показал, что для понимания природы Н-связи в воде, кроме поляризации связей в доноре и переноса заряда между двумя молекулами, необходимо учитывать также поляризацию связей в акцепторе и делокализацию зарядов как в доноре, так и в акцепторе.

В. Л. Лебедев

H₂O; D₂O (см. номі.) XI 3889 1968

Морозов В. Н., Смирнов Н. Н.,
Гидрофизико В. Г., Сауне А.,
Алматирск., тұр. саб. совету., 6⁰⁰,
1968 (ошын. 1973), 188-9 (русс.)

Синтез и изучение синтети-
ческих и неизвестных им
новых координатных
систем, обобщающих и
расширяющих предыдущие
и новые результаты, полученные
в процессе изучения
воды в различных природных
и технических состояниях.

РА. 1973, № 120, 119966-2

1968

Kirkley, pacres

H₂O

9554t One-electron properties of near-Hartree-Fock wave functions. I. Water. Neumann, D.; Moskowitz, J. W. (New York Univ., New York, N.Y.). *J. Chem. Phys.* 1968, 49 (5), 2056-70 (Eng). Self-consistent-field calcs. are reported for the ground state of the water mol. in a contracted and uncontracted Gaussian basis set. The uncontracted set is shown to be near the Hartree-Fock limit for water. One-electron properties were computed from both wavefunctions. Best est. for several of these quantities are: dipole moment, $\mu_z = 1.995$ D.; quadrupole moment, $\theta_{zz} = -0.108$ and $\theta_{xx} = -2.422$ in buckinghams; octupole moment, $\Omega_{zzz} = -1.337$ and $\Omega_{xxx} = -0.960$ in units of 10^{-34} esu. cm.³; av. diamagnetic shielding at the proton, $\sigma_{Av}^d = 102.9$ ppm.; quadrupole coupling const. at the deuteron, $(eqQ/h)_{AA} = 343.9$ kc./sec., and at the O, $(eqQ/h)_{aa} = -8.34$ Mc./sec. The effect of including *d*-type Gaussian functions in the basis is examnd.

RCJO

C.A. 1968-69-24

1968

22117v Force constant displays of unsymmetric molecular isotopes of water, hydrogen sulfide, hydrogen selenide, and acetylene. Nibler, Joseph W.; Pimentel, George C. (Univ. of California, Berkeley, Calif.). *J. Mol. Spectrosc.* 1968, 26(3), 294-314 (Eng). The results of normal coordinate calcns. can be presented in the form of "force const. displays," the loci of all possible solns. The intersections of the loci for isotopically substituted mols. identify a "best" soln. The value of such displays is evaluated and demonstrated with the data for H₂O, H₂S, H₂Se, and HCCH. The displays derived from both exptl. frequencies (ν) and harmonic frequencies (ω) are examd. In general, the partially deuterated, unsymmetric isotopic mol. is more useful in detg. potential functions than is the completely deuterated species. The significance and relative effectiveness of various error-weighting functions in normal coordinate iterative programs are demonstrated. The displays generally det. the principal force consts. to better than 5%, but the off diagonal force consts. must be interpreted with care.

RCKP

13
Aug

C.A. 1968. 69.6



1968

Н. О

1/2 Д154. Кривые силовых постоянных в несимметрических изотопах молекул H_2O , H_2S , H_2Se и HCCH . Nibler Joseph W., Pimentel George C. Force constant displays of unsymmetric molecular isotopes of H_2O , H_2S , H_2Se , and HCCH . «J. Molec. Spectrocs.», 1968, 26, № 3, 294—314 (англ.)

сил. конст.

Из наблюдаемых (ω) и гармонич. (ω^0) частот основных колебаний симметрических и несимметрических изотопич. модификаций молекул H_2O , H_2S , H_2Se и HCCH методом наименьших квадратов вычислены их силовые коэф. Расчет выполнен с 3 весовыми матрицами $W=1$, $W=\Lambda^{-1}$ и $W=\Lambda^{-2}$ ($\Lambda=\omega_i^2$) или $(\omega_i^0)^2$ и показано, что при использовании ω_i^0 можно выбрать любую W , а для ω_i различный выбор W приводит к существенно различ-

09. 1969. 270

X

ным результатам для силовых коэф. Оценка ошибок выполнена по дисперсии силовых коэф. Построены кривые зависимости диагональных силовых коэф. от недиагональных, точки пересечения которых дают искомые силовые коэф. При этом отдельно использованы частоты симметрично и несимметрично замещенных изотопич. молекул. Отмечено, что неопределенность в определении силовых коэф. графич. методом зависит от использованного набора ω_i^0 . Область пересечения кривых, определяющая степень неопределенности значения соответствующего силового коэф. для ω_i^0 симметричных замещенных молекул, шире, чем для ω_i^0 несимметричных замещенных молекул.

М. Р. Алиев

1968

H₂O

10 Б208. Наборы силовых постоянных в несимметричных изотопных молекулах H₂O, H₂S, H₂Se и HCCH, Nibley, Joseph W., Pimentel, George C. Force constant displays of unsymmetric molecular isotopes of H₂O, H₂S, H₂Se, and HCCH. «J. Molec. Spectrosc.», 1968, 26, № 3, 294—314 (англ.)

Результаты расчета колебаний в нормальных координатах могут быть представлены в виде «наборов силовых постоянных» — годографов всех возможных решений. Точки пересечения годографов для изотопически замещенных молекул определяют «наилучшее» решение. Этот метод применен для оценки силовых полей молекул H₂O, H₂S, H₂Se и HCCH, исходя как из экспериментально наблюдаемых частот (ν), так и гармонич. частот (ω).

2. 1969. 10

Использование несимм. изотопных молекул при вычислении потенциальной функции является более предпочтительным по сравнению с полностью замещенными дейтероаналогами. При оценке точности расчетов были использованы функции ошибок с различными весами и обсуждены их значимость и относительная эффективность. Метод дает значения основных силовых постоянных с погрешностью менее 5%; при этом интерпретация недиагональных силовых постоянных требует осторожности.

Резюме

1968

H₂O

Nielsen H.H.,
Rao K.N.

Гравура
для - на
нассе

U.S. Govt. Res. Develop.
Rep. 1969, 69, n 9,
75.

(av. CO₂) !!

H₂O (water)

1968

Ref. y. &
Chem.

47854w Vacuum ultraviolet absorption spectra of liquid water and ice. Onaka, Ryumyo; Takahashi, Tsutomu (Kyoiku Univ., Tokyo, Japan). *J. Phys. Soc. Jap.* 1968, 24(3), 548-50 (Eng). The fundamental absorption bands were studied of various phases of H₂O. Cubic ice has a well-defined absorption band at about 8.7 ev., while hexagonal and amorphous ices show only a gradual increase of absorption toward the higher energy in the range 7-10 ev. The absorption coeff. of liq. H₂O shows a steep rise in the range 6.5-8 ev. and complies with the Urbach rule at the low-energy tail of the fundamental absorption. This rule is believed to characterize the behavior of phonon-broadened absorption bands. 18 references.

JDJN

C. A. 1968. 69. 12

11 13 14 XI 1968 1968

J (H₂, N₂, H₂O, NH₃, CH₄, N₂, NO, O₂)

Price W.C.

Molec. Spectrosc. Proc. Conf., Brighton, 1968,
London, 1968, 221-236; Discuss., 232-238 (m)

Developments in photo-electron spectro-

scopy

Locality

IV

Barkham, 1968, 46163

10

(d)

1968

 H_2O

2 Д146. Изучение водородной связи в воде методом МО. Rein Robert, Clarke George A., Harris Frank E. Molecular orbital study of the hydrogen bonding of water. «J. Molec. Struct.», 1968, 2, № 2, 103—109 (англ.)

Расширенным методом Хюкеля с самосогласованием по заряду рассчитаны H_2O (I) и плоский димер I (II). Расчет I удовлетворительно передает величину валентного угла (100°), потенциал ионизации (10,61 эв), дипольный момент (2,23 ед. Дебая), атомные заряды ($-0,23 e$ на O). Использование двухкомпонентных приближенных орбиталей Хартри—Фока приводит к тем же качеств. результатам. Метод, однако, не позволяет определить равновесное значение длины связи (ДС): энергия монотонно понижается с увеличе-

расчет

у

ион. ср-ра

оо. 1970. 28

18

нием ДС, в результате чего не получается также и стабильного II. Однако при закреплении расстояния O—O наблюдается минимум энергии при $\gamma_{\text{O-H}}$, большем ДС в I. Расчет обнаруживает значительный сдвиг заряда вдоль H-связи в II от акцептора к донору, заселенность перекрывания связей O--H и H—O изменяется при образовании II в значительно меньшей степени.

А. П. Клягина

1968

H₂O

силовые
постоянныe

14 Б12. Применение теоремы вариала к расчету молекулярных силовых постоянных. Гармонические силовые постоянные молекулы воды. Россихин В. В., Морозов В. П., Цауне Л. Я. «Теор. и эксперим. химия», 1968, 4, № 1, 42—47

Квантовомеханическая теорема вариала применяется к расчету гармонич. части потенциальной функции молекулы H₂O на основе волновых функций, полученных в приближении самосогласованного поля.

Резюме

X · 1968

· 19

H₂O

(lind. wog)

13050r Use of the virial theorem to calculate molecular force constants. Harmonic force constants of a molecule of water. Rossikhin, V. V.; Morozov, V. P.; Caune, A. (Dnepropetrovsk. Khim. Tekhnol. Inst., Dnepropetrovsk, USSR). *Teor. Eksp. Khim.* 1968, 4(1), 42-7 (Russ). Equations obtained by differentiating the virial may be used in any case where the classical theory of mol. vibrations gives an insufficient no. of equations for detg. the harmonic force consts. The Hartree-Fock-Roothan wave functions were used for the calcns. of the H₂O mol. The force consts. obtained are in good agreement with the exptl. values.

Mary Frances Richardson

C.A. 1968. 69. 4

H₂O

Rothe & Z.

1968

McCaa & J.

U.S. At. Energy Comm.,
CAX-TR-165, \$10 pp.

checkup

(cav. N₂) III

1968

15 Б260. Колебательная динамика в жидкой воде:
новая интерпретация инфракрасного спектра жидкости.
Schiffer J., Hornig D. F. Vibrational dynamics in
liquid water: a new interpretation of the infrared spectrum
of the liquid. «J. Chem. Phys.», 1968, 49, № 9, 4150—
4160 (англ.)

При сравнении ИК-спектров жидк. воды и простых гидратов отмечены нек-рые аномалии, необъяснимые в рамках принятых в настоящее время теорий жидкости. Эти аномалии объясняются с точки зрения максвелловского распределения взаимодействий при столкновениях между молекулами воды. Колич. оценки показывают, что большинство молекул в жидкости сильно искажены вследствие столкновений, и что наблюдается широкое распределение степеней искажений молекул в жидкости. В рамках колебательной динамики характер проявления вал. кол. $\nu(\text{OH})$ воды можно трактовать как континуум осцилляторов OH с набором различных частот, испытывающих слабые меж- и внутримолек. взаимодействия. Предложена новая интерпретация ИК-спектра жидк. H_2O в рамках этой модели.

Резюме

Н. О
(широк.)
ИК-
(шикар)

15

д. 1969.

H₂O

16a

1968

L.K. Clegg

— 47746n. The infrared spectra of liquid water and heavy water in the 1000 to 250 cm.⁻¹ range. Simon, Martha Nichols (Cornell Univ., Ithaca, N.Y.). 1968, 109 pp. (Eng). Avail. Univ. Microfilms, Ann Arbor, Mich., Order No. 68-6602. From Diss. Abstr. B 1968, 28(11), 4536.

SNDC

C.A.

1968-69-12

1968

M 0
2

Cp

38191v Specific heat of water c_p at the solidification curve.

Sirota, A. M.; Grishkov, A. Ya. (USSR). *Tr. Vses. Nauch.-Tekh. Konf. Termodin., Sb. Dokl. Sekts. "Termodin. Fazovykh Perekhodov, Poloka Neobratimykh Protsessov" "Teplofiz. Svoistva Veshchestv,"* 3rd 1968 (Pub. 1970), 334-44 (Russ). Leningrad. Tekhnol. Inst. Kholod. Prom.: Leningrad, USSR. The measurements of c_p at 4.11-32.53° and 500-1000 bars revealed divergences between the exptl. data and those calcd. by use of the "International equation" (1967 IFC Formulation for industrial use), esp. for temps. below 30°. The 1000-bar isobar obtained by use of the exptl. c_p data does not change its curvature, and the presence of characteristic inflections on c_p isobars at the curve of solidification was not confirmed. The exptl. set-up used is described in details.

J. Pietkiewicz

C.A. 1973: 16:8

Мод

*Колеб.
спектр*

9 Д247. Возбуждение колебательных переходов в парах воды и углекислом газе посредством электронных ударов при кинетических энергиях между 30 и 60 эв. Skerbele Ausma, Dillon Michael A., Las-sellte Edwin N. Excitation by electron impact of vibrational transitions in water and carbon dioxide at kinetic energies between 30 and 60 eV. «J. Chem. Phys.», 1968, 49, № 11, 5042—5046 (англ.)

1968

Исследованы спектры колебательных переходов в молекулах H_2O и CO_2 , возбужденных посредством электронных ударов при кинетич. энергиях 30÷60 эв. В спектрах паров воды получены переходы, соответствующие колебательным полосам v_1 , v_2 , v_3 , $2v_2$, v_2+v_3 , v_1+v_3 , $v_1+v_2+v_3$ и $2v_1+v_3$. В спектрах CO_2 , помимо полос v_2 и v_3 , наблюдаются слабые полосы, соответствующие колебаниям v_1+v_3 , $2v_2^0+v_3$ и полносимметричному колебанию v_1 . Относит. интенсивности колебательных переходов в спектрах электронного удара определены для углов рассеяния от 2° до 15° и сравнены с интенсивностями соответствующих полос в ИК-спектрах. Библ. 18.

К. Василевский

Ф. 1969 · 99

+1

X

1968

μ₂ 0

4 Д298. Коэффициент поглощения паров воды в области $600-1000 \text{ см}^{-1}$. Vaganas i P., Chou S., Reppe S. S. Absorption coefficients for water vapor in the $600-1000 \text{ cm}^{-1}$ region. «J. Quant. Spectrosc. and Radiat. Transfer», 1968, 8, № 8, 1537—1541 (англ.)

изучен.
поглощ.

Изучены спектры поглощения паров воды в области $600-1000 \text{ см}^{-1}$ с разрешением 25 см^{-1} при т-рах 400 , 450 и 500°K и давлениях 2 и 10 атм . Спектры получены с использованием кювет из нержавеющей стали с окнами CdTe. Наблюденное поглощение отнесено к врача-тельным переходам молекулы H_2O . Вычисленный коэф. поглощения оказался заметно ниже экспериментального, причем согласие с опытом улучшается при повышении т-ры. Разность между этими величинами объяснена вкладом в интенсивность поглощения за счет молекул, связанных водородной связью. Оценка энергии водородной связи молекул H_2O в газовой фазе дает величину $3-5 \text{ ккал/моль}$. Библ. 9.

М. В. Тонков

49



окт. 1969.

H₂O

W. J. S.

Pirey

1968

63092b Quantum-mechanical analysis of fine structure in
the vibration-rotation spectrum of water vapor. I. Methods
for calculating positions, intensities, half-widths of lines, and
coefficients of absorption. Zuev, V. E.; Ippolitov, I. I.;
Makushkin, Yu. S.; Orlov, A. A.; Fomin, V. V. (USSR).
Opt. Spektrosk. 1968, 25(1), 36-44 (Russ). Equations for calcg.
of the title spectral parameters were detd. by means of quantum
mech. anal.

V. Bekarek

C.A.

1968-69-16

И.мн.расч

1968

H₂O

5 Б172. Квантовомеханический анализ тонкой структуры колебательно-вращательного спектра водяного пара. I. Методика расчета положений, интенсивностей, полуширин линий и коэффициентов поглощения. Зуев В. Е., Ипполитов И. И., Макушкин Ю. С., Орлов А. А., Фомин В. В. «Оптика и спектроскопия», 1968, 25, № II, 36—44.

Разработана методика квантовомеханических расчетов уровней колебательно-вращательной энергии, положения центров линий, их полуширины, интенсивностей и коэффициентов поглощения в спектрах водяных паров. Учитено взаимодействие колебательных и вращательных термов молекулы.

Резюме

x · 1969 · 5

H₂O

1968

8 Д154. Исследование тонкой структуры колебательно-вращательного спектра водяного пара. Зуев В. Е., Ипполитов И. И., Макушкин Ю. С., Орлов А. А., Фомин В. В. «Докл. АН СССР», 1968, 179, № 1, 51—54

Приближенный метод записи колебательно-вращательного гамильтонiana, удобный для применения теории возмущений. Показано, что полная колебательно-вращательная энергия может быть представлена в виде суммы энергии трехмерного ангармонич. осциллятора и энергии нежесткого волчка. Рассчитан вращательный энергетич.

окт. 1968 · 8 №

спектр для ряда колебательных полос. Колебательно-вращательная ф-ция представляется в виде произведения ф-ций ангармонич. осциллятора и нежесткого волчка. Рассчитаны линейные и квадратичные коэф. в разложении дипольного момента по норм. координатам. С помощью полученных волн. ф-ций и дипольного момента определены интенсивности, полуширины линий и коэф. поглощения для ряда узких участков спектра в районах 0,84, 1,06 и 1,15 μ .

1968

H₂O

17 Б49. Приближенные ангармонические потенциальные функции многоатомных молекул. Случай двух изотопических модификаций трехатомных нелинейных симметричных молекул. Цауне А. Я., Морозов

~~В. П., Дайнова В. С.~~ «Оптика и спектроскопия», 1968,
24, № 3, 372—377

На примере молекул H₂O, D₂O; H₂S, D₂S; H₂Se, D₂Se исследуются возможности применения метода исследовательских приближений к определению простой ангармонич. потенциальной функции. Изучается применимость ее к вычислению колебательных постоянных и частот перехода указанных молекул. Резюме

и. и.д. 1968 · 17